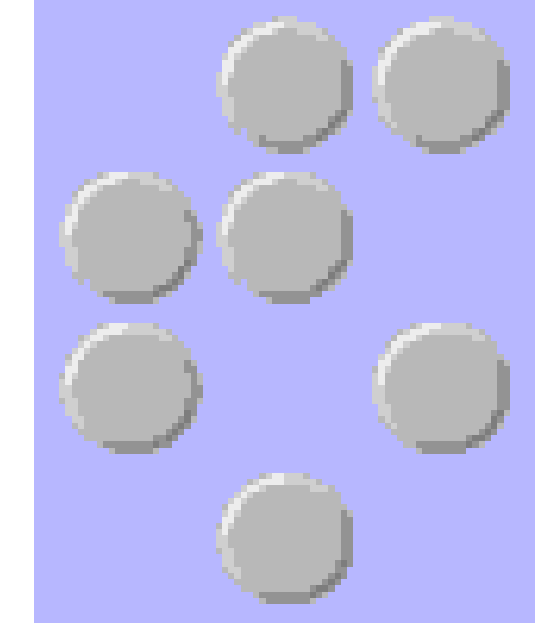
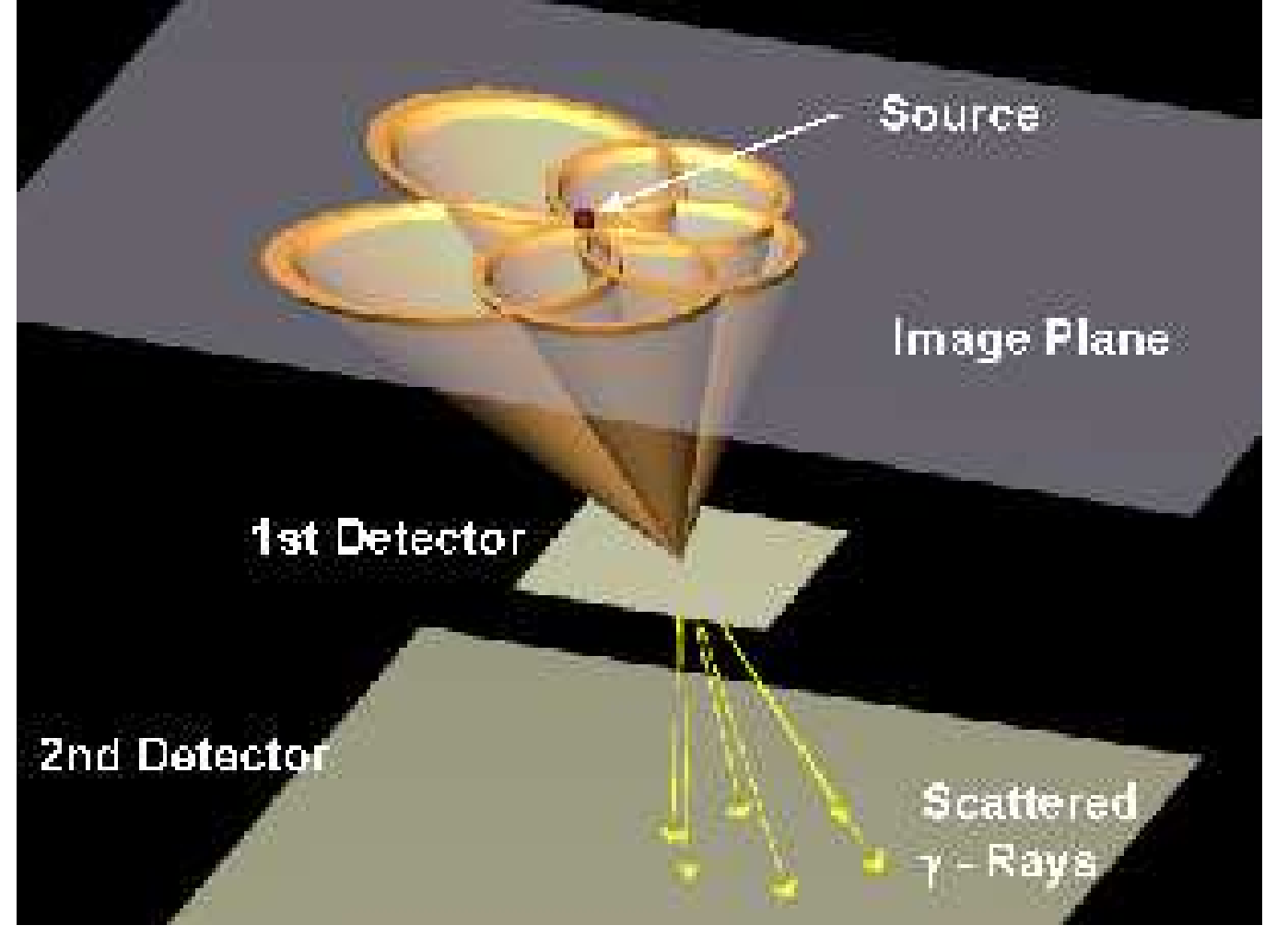


Comptonska kamera: nov način detekcije žarkov γ

Andrej Studen, Institut Jožef Stefan, za kolaboracijo CIMA
elektronska pošta avtorja: Andrej.Studen@ijs.si

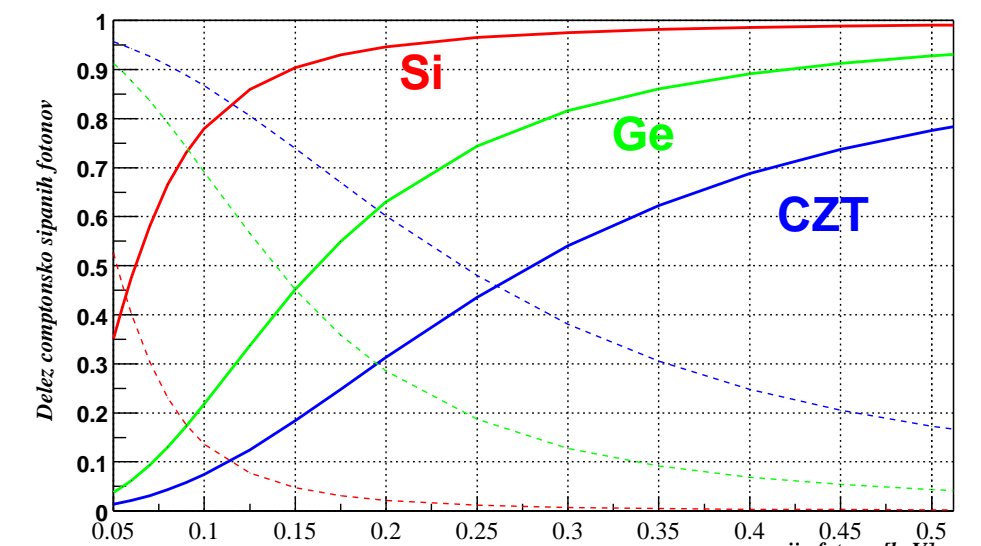


Princip delovanja



Shema comptonske kamere.

Sipalni detektor iz silicija



Primerjava relativnih attenuacijskih koeficientov za Comptonovo sisanje v nekaterih snoveh.



Primer silicijevih detektorjev na rezini.

Sekundarni detektor: uveljavljen scintilitorski detektor γ žarkov.

Za sipalni detektor je naša raziskovalna skupina izbrala segmentirano polprevodniško diodo iz silicija. Nekateri razlogi:

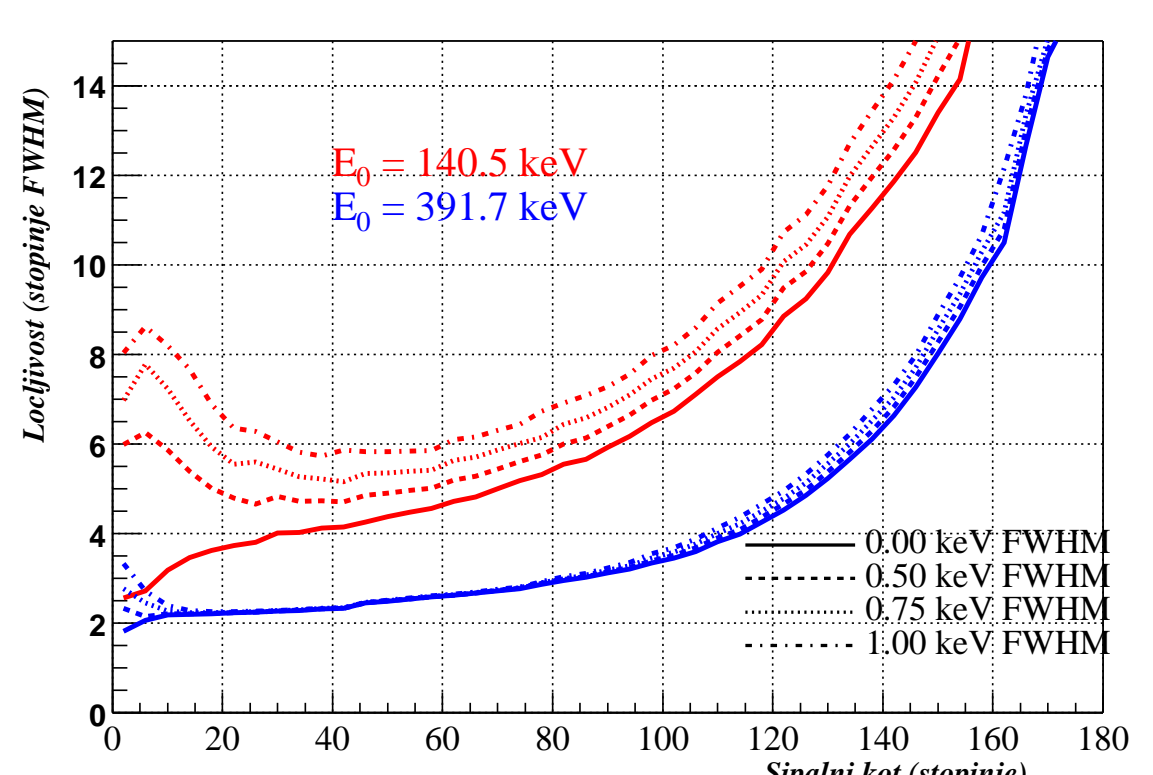
- Velik delež Comptonovega pojava v fotonskih interakcijah s silicijem (slika levo).
- Uporaba pri sobni temperaturi.
- Majhna energija, potrebna za nastanek para elektron-vrzela, torej dobra energijska ločljivost.
- Razvita tehnologija obdelave in segmentiranja (glej sliko).
- Prostorska ločljivost za elektrone do $1 \mu\text{m}$ ob primerni segmentaciji.
- Robustnost.

Seveda pa so tu tudi slabe strani:

- Nizko atomsko število pomeni majhen atenuacijski koeficient (2 % zaznanih fotonov v 1 mm pri 511 keV fotonih).
- Obdelava je prirejena debelinam do 1 mm, zato je za potrebe izkoristke nujno uporabiti več plasti detektorjev.

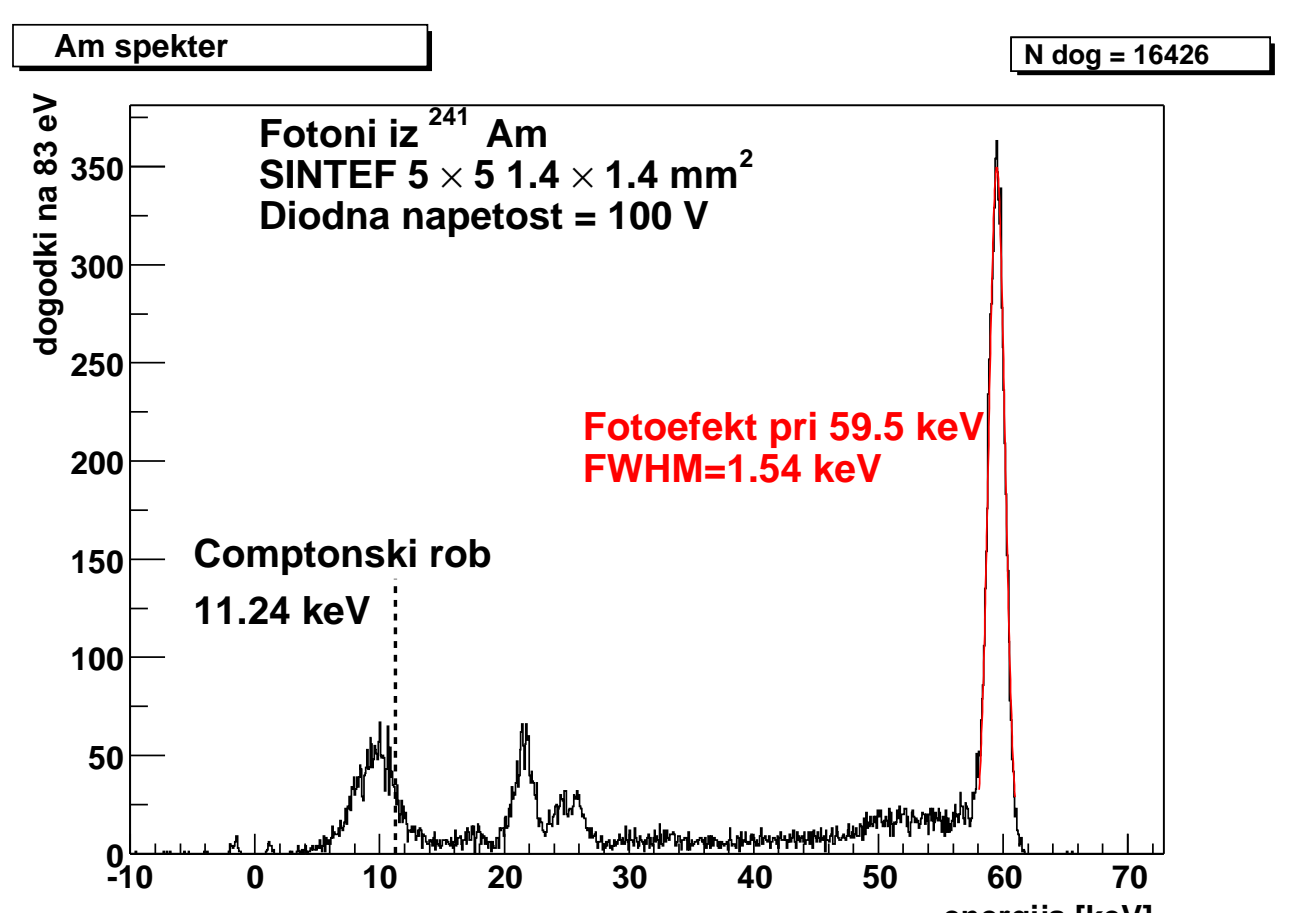
Prostorska ločljivost odvisna od:

- Prostorske ločljivosti obhod detektorjev
- Energijske ločljivosti sipalnega detektorja
- Napake pri rekonstrukciji sipalnega kota (Dopplerjev pojav)



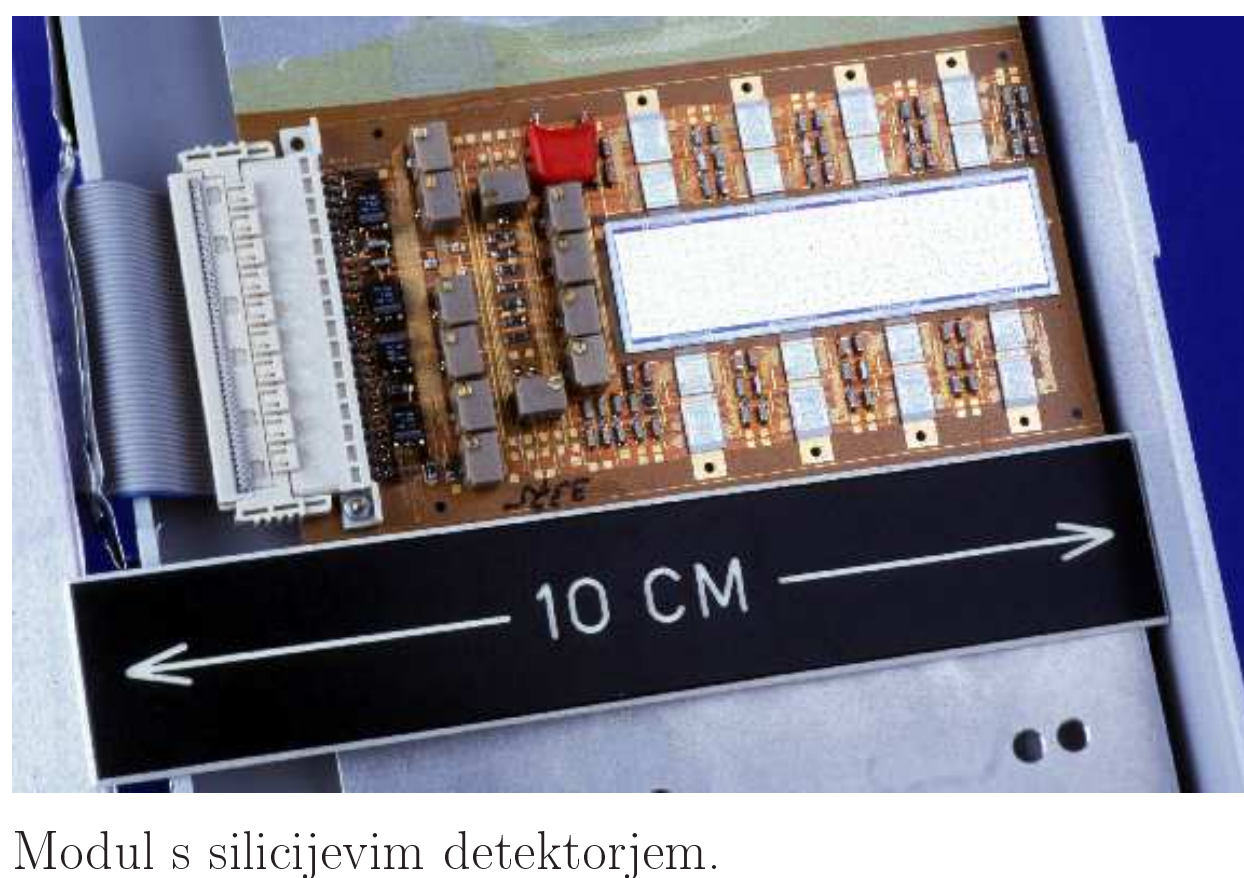
Vsota napak zaradi Dopplerjevega pojava in natančnosti sipalnega detektorja.

- $1^\circ \approx 0.5 \text{ mm}$ na tipični razdalji 3 cm
- Dosegljive natančnosti 2–3 mm.
- Potrebna je energijska ločljivost 1 keV FWHM v sipalnem detektorju.

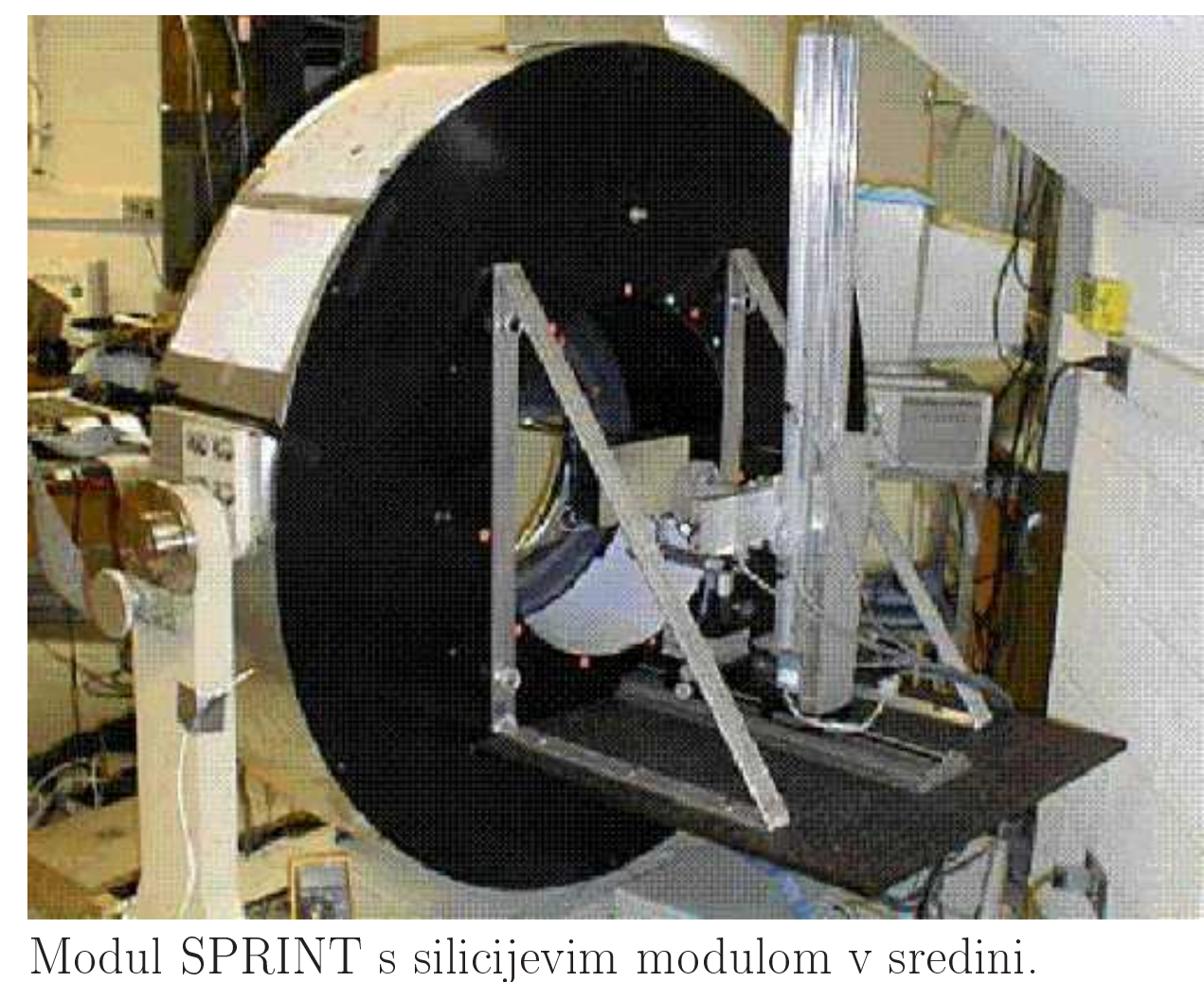


Razsiritev črte fotoefekta v silicijevem detektorju.

- Sistem C(ompton)-SPRINT, Ann Arbor.



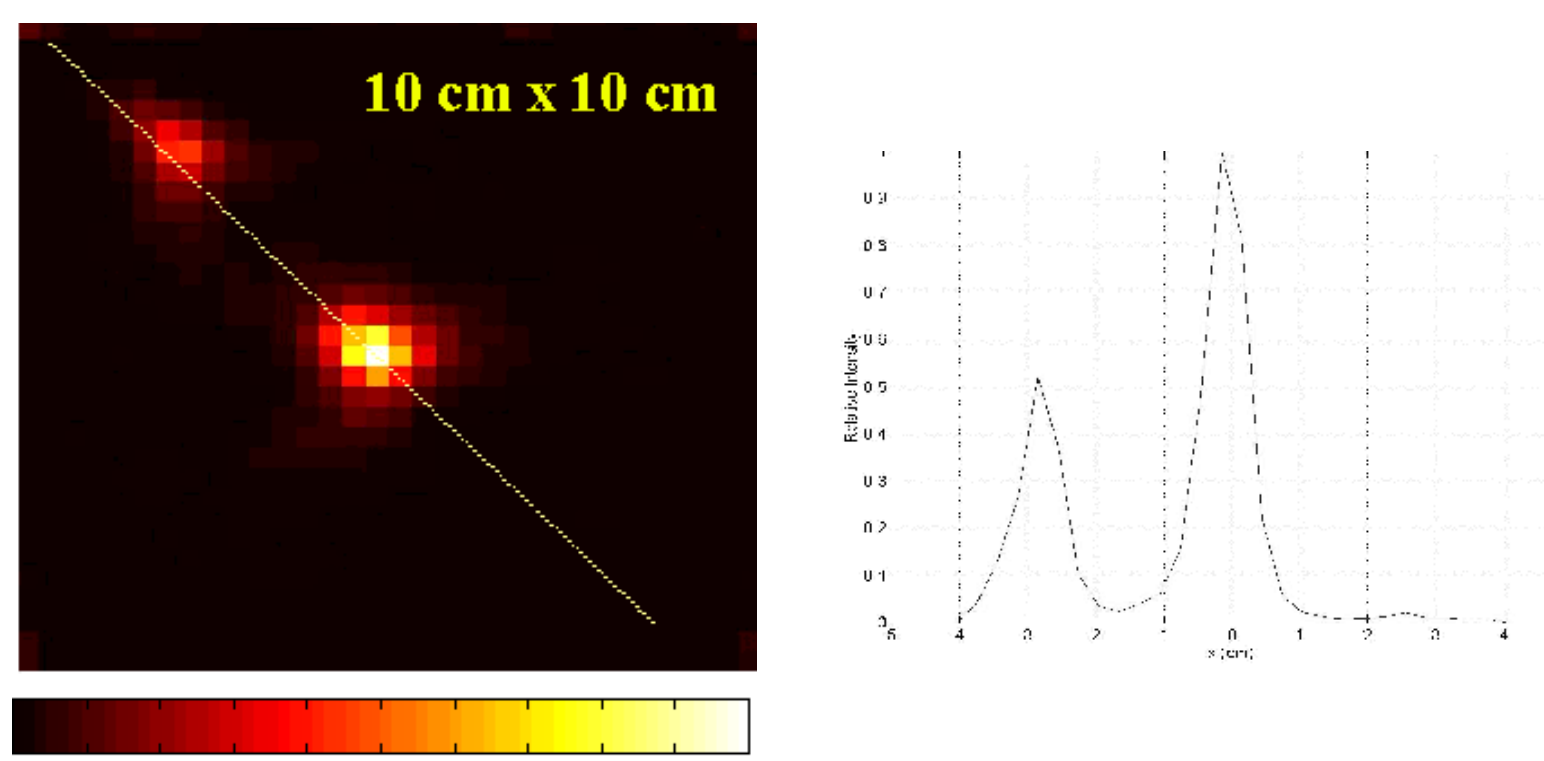
Modul s silicijevim detektorjem.



Modul SPRINT s silicijevim modulom v sredini.

- **Prostorska ločljivost detektorja.**
Dva točkasta sevalca, ^{131}I , 364 keV, razmaknjena za 3 cm, 11 cm od sipalnega detektorja.

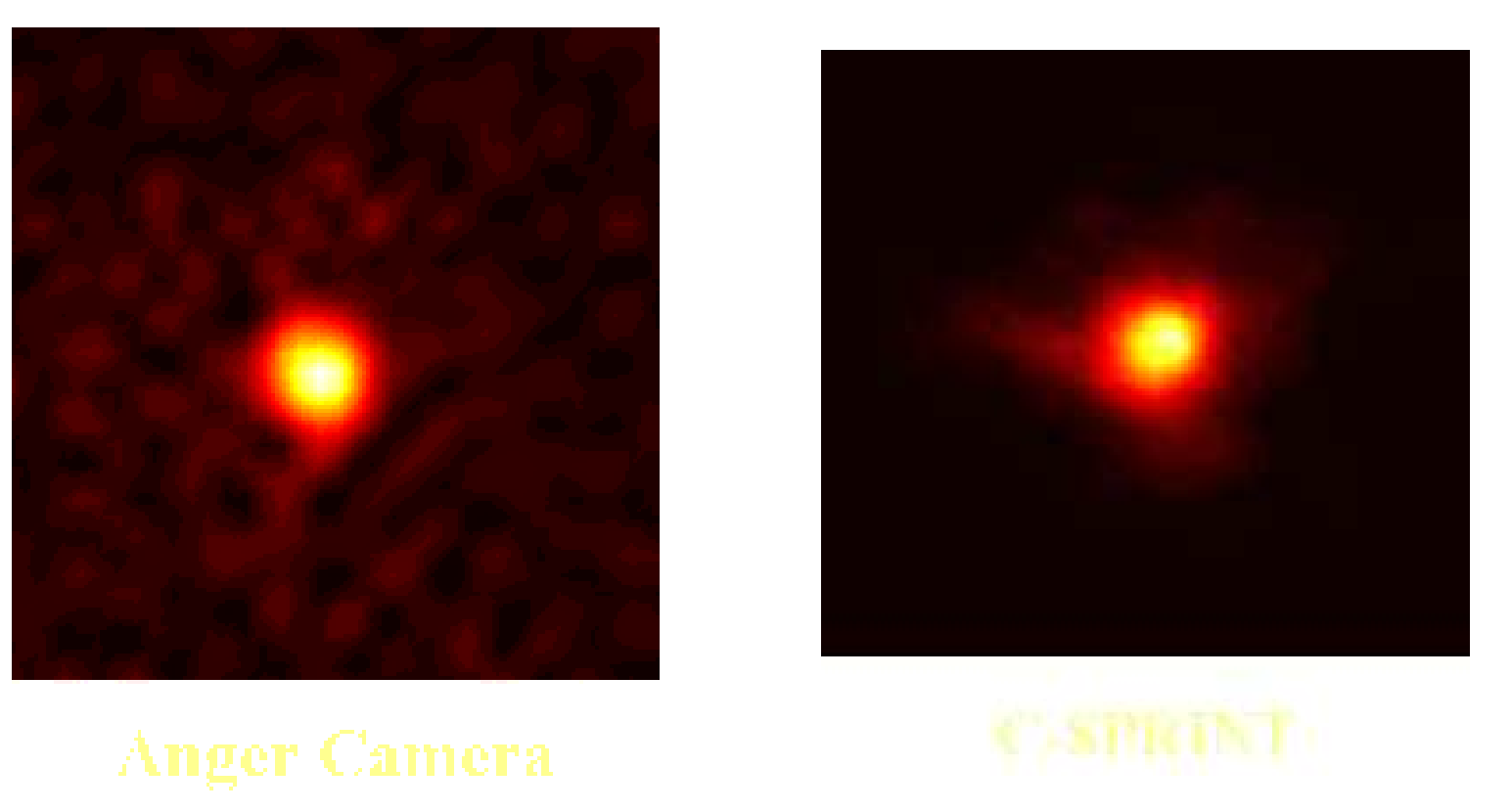
— Ocenjen FWHM 6 mm ($\approx 3^\circ$).



- **Primerjava z delajočimi kamerami.**

Točkast sevalec ^{99m}Tc , 140.5 keV.

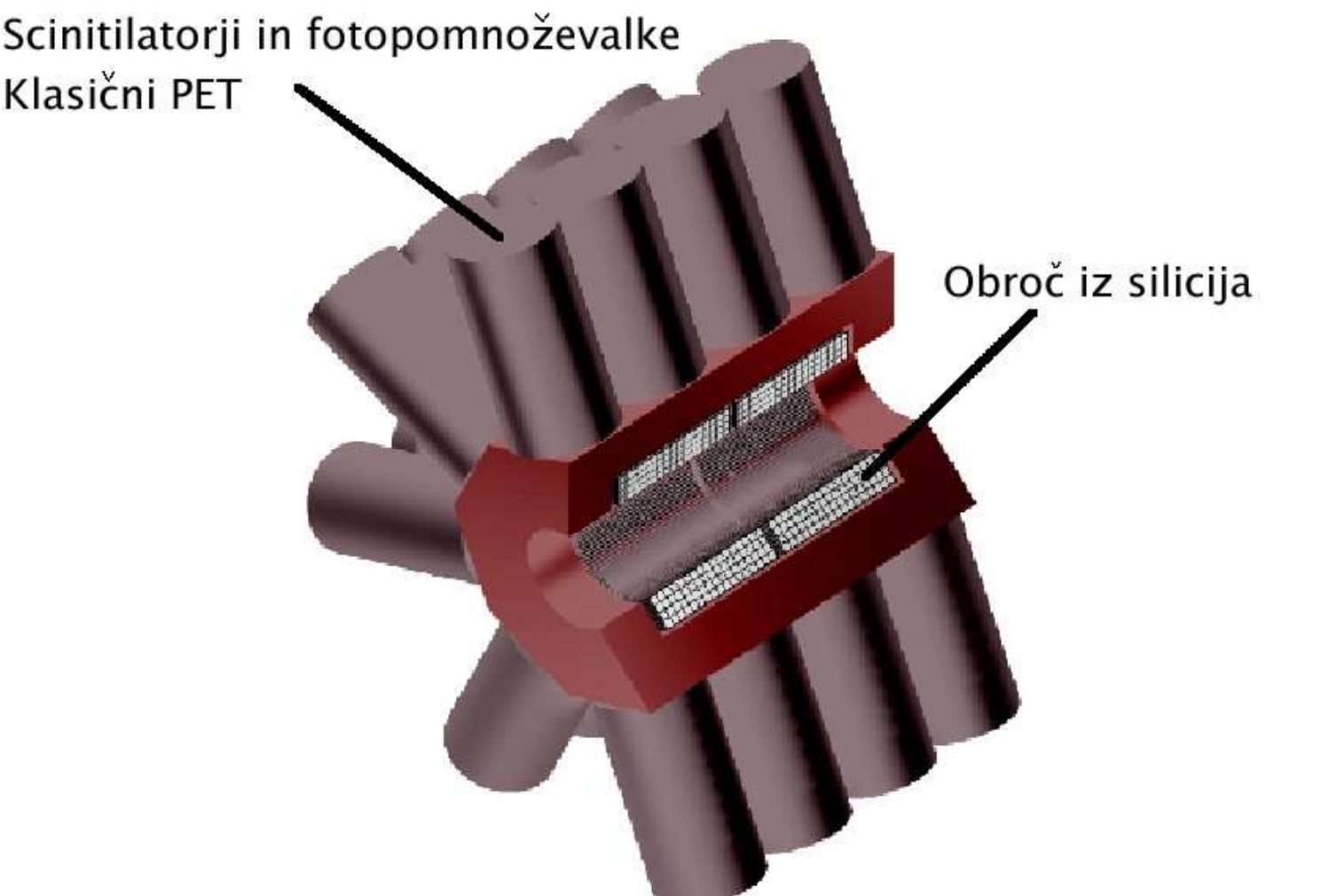
- Angerjeva kamera (levo) in C-SPRINT (desno), ekvivalentna natančnost
- V C-SPRINTu potrebno **16-krat** več dogodkov za ekvivalentno natančnost rekonstrukcije. Vendar
- C-SPRINT je zaznal **100-krat** več fotonov!



Anger Camera

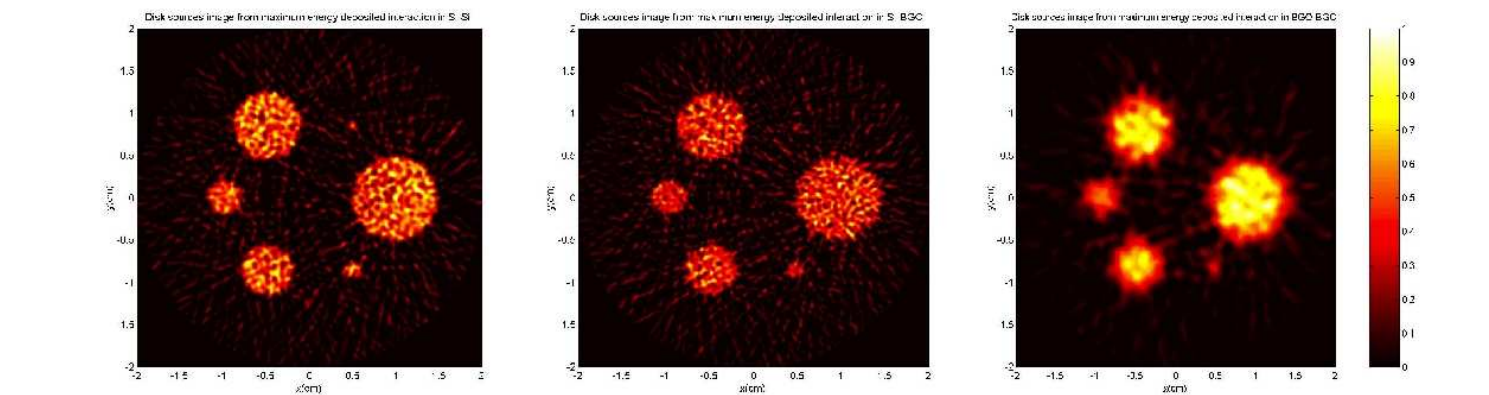
C-SPRINT

Načrtovane aplikacije v radiologiji



- **Visoko ločljivi PET za male živali.**

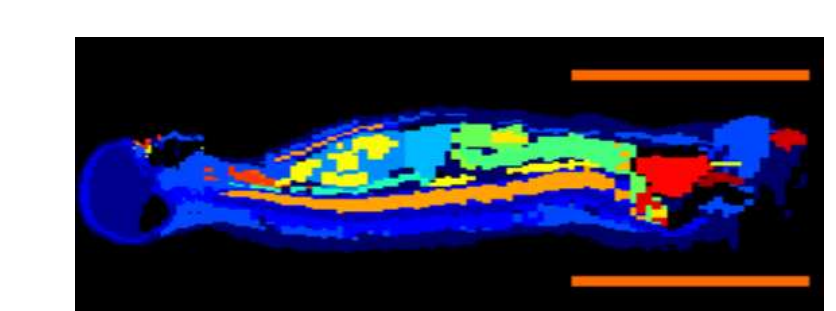
- Detekcija para fotonov, ki nastane pri anihilaciji.
- Natančnejše določanje točk interakcije v siliciju ($1 \mu\text{m}$ napram 1 mm).
- Kombinacija klasičnega scintilitorskega PET detektorja in silicijevega obroča
- Trije tipi dogodkov:
 - * Oba fotona zaznamo v siliciju. Redko - manj kot 1% izkoristek, natančnost pod 1 mm (na sliki levo).
 - * Oba dogodka zaznamo v scintilitoru. Skoraj 100 % izkoristek (desno).
 - * Mešani dogodki (sredina).



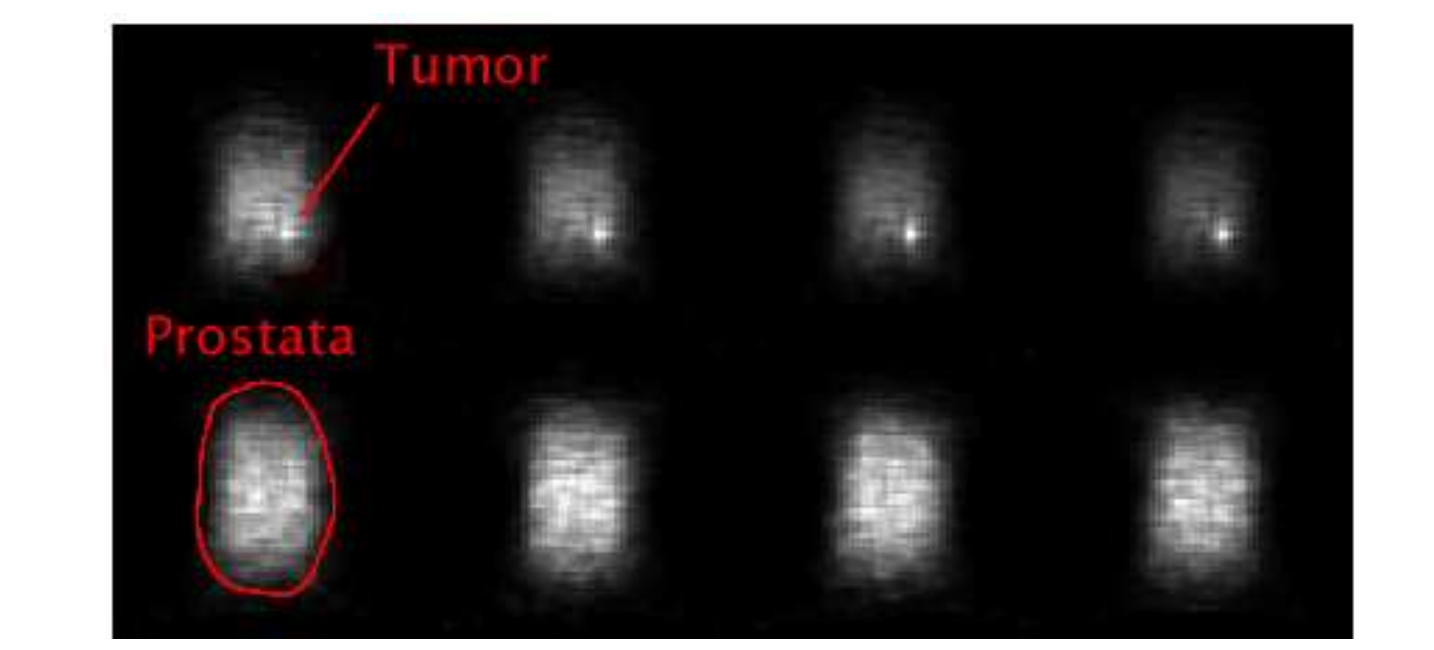
Zgoraj: PET aparat za slikanje malih živali, predlog. Spodaj: Simulirana rekonstrukcija diskastih virov premerov od 1 mm do 10 mm, različni tipi dogodkov.

- **Sonda za prostate**

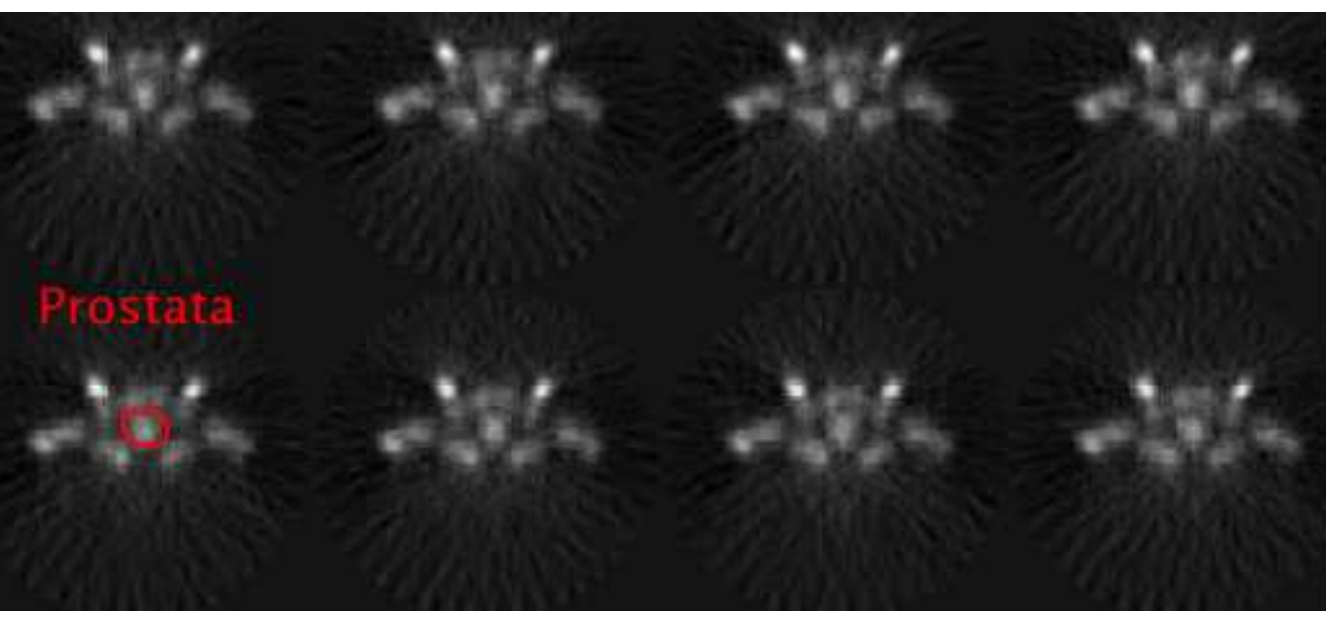
- Rak na prostati je drugi najbolj pogosti rak med moškimi.
- Simulacija:
 - * Računalniški fantom človeškega telesa iz 4 mm kock (desno).
 - * Sonda s sipalnim detektorjem intrarektalno.
 - * Sekundarni detektor: scintilitorski PET obroč.
 - * Rekonstruirana slika simulirane prostate s comptonsko in Angerjevo kamerico (slika spodaj).



Računalniški fantom s silicijevim sondom intrarektalno ob prostate (rdeče). Scintilitorski detektor obdaja telo (oranžno).



Comptonska kamera (levo) in Angerjeva kamera pri detekciji tumorja (sevalec ^{111}In , 171 keV) v prostati. Zgoraj realizacije s tumorji relativnih intenzitet zaporedoma 5:1, 10:1, 15:1, in 20:1 napram ozadju, spodaj realizacije brez tumorjev (simulacija).



Kolaboracija CIMA

V. Cindro^a, A. Clark^b, N. H. Clinthorne^c, A. Czermak^d, W. Dulinski^e, J. Fuster^f, F. Garibaldi^g, E. Grigorjev^h, L. Hanⁱ, K. Hohnscheid^j, H. Kagan^j, C. Lacasta^f, G. Llosa^f, N. Malakhov^k, D. Meier^l, M. Mikuž^m, E. Nappi^m, E. Nygarardⁿ, S. J. Parkⁱ, G. Pignatelⁿ, T. Pritchard^o, S. Roe^p, W. L. Rogers^c, P. Weilhamer^o, H. Zaidi^h, D. Žontar^o

^a Institut Jožef Stefan in Univerza v Ljubljani, Fakulteta za matematiko in fiziko, Ljubljana, Slovenija ^b Univerza Zrenjanin, oddelok za fiziku, Zrenjanin, Srbija ^c Medical School, University of Michigan, Ann Arbor, ZDA ^d Niewodniczanski Institute of Nuclear Physics, Krakow, Poljska ^e LEPSI, IN2P3/CNRS-ULP, Strasbourg, Francija ^f Inst. de Fisica Corpuscular, CSIC, Universitat de Valencia, Valencia, Španija ^g ISS, Rim, Italija ^h Univerzitetska bolničnica, Zrenjanin, Srbija ⁱ College of Engineering, University of Michigan, Ann Arbor, ZDA ^j Ohio State University, Columbus, Ohio, ZDA ^k INFN, Pisa, Italija ^l Ideas ASA, Oslo, Norveška ^m INFN, Bari, Italija ⁿ Università Perugia, Italija ^o CERN, Ženeva, Švica

Kolaboracija CIMA (Cameras for Imaging in Medical Applications) skuša prenesti znanje in izkušnje eksperimentalne fizike osnovnih delcev v medicino, točneje v radiologijo. Eden od projektov, vključenih v to splošno shemo je tudi comptonska kamera. Namen projekta je razvoj detektorskega sistema osnovanega na kinematiki Comptonovega pojava za rekonstrukcijo prostorske porazdelitve sevalcev žarkov γ v razsežnih objektih, predvsem v tkivih ljudi in sesalcev.